说明成矿时氧逸度很低。但 在沙溪、舒家店、玉龙等斑岩铜矿中因磁铁矿与黄铜矿、黄铁矿共生,而且磁铁矿量比较多,说明它们成矿时,氧逸度高一些,接近 logfo<sub>2</sub> = -42。

6.斑岩铜矿成矿溶液中的介质成分,到目前为止还不清楚。从国内外斑岩铜矿普遍发育有强烈的蚀变带,包括石英一(黑云母)钾长石化带、石英一组云母化带及青盘岩化带。要形成前两个蚀变,矿液中要有大量的钾。在我们以往的实验中,钾长石化就是溶液中的K+进入围岩中,而围岩中的Na+、Ca²+进入溶液中。这种情况与斑岩铜矿水态包裹体成份资料相似。所以可以认为斑岩铜矿成矿溶液是以K+、Na+、Ca²+、Mg²+等为主的氯化物水溶液。

另外,石英的生长与温度、时间相关,高温生长快,低温生长慢,但时间长了也一样可以变成石英。这就可以知道自然界中很多低温石英脉的形成是经过了漫长的地质时代的。

综上所述,我们认为象富家坞、多宝山一类斑岩铜矿是由一种含Cu、Fe、S 量不同的 $SiO_2$ 饱和的以氯化物 为主的 引酸性水溶液,在350~250°C的还原环境中形成。

整个实验过程中,得到我所斑岩铜矿组同志们的大力协助。溶液分析由胡有云、云秀英等同志完成;矿物成份及X射线分析由王凤阁、郭永芬等同志完成;照片由晋国泰、简可清同志完成;光薄片由陈燕华等同志磨制;陈昌宜同志参加了实验的补充工作,给我们帮助很大,特向各位同志表示感谢。



# 大宝山斑岩钼(钨)矿床 围岩蚀变特征

广东省冶金地质九三七队 庄明正\*

大宝山是一个大型多金属矿区,位于粤北山字型前弧东翼内侧,北江新华夏断裂带。 的东侧,大东一贵东一九连山东西构造带与 北江新华夏系构造带复合处。

区内出露地层主要为泥盆纪及石炭纪的 一套滨海一浅海相砂页岩一碳酸盐建造,次 为寒武纪浅变质砂板岩建造。局部尚有早休 罗世陆盆成煤建造。

区内断裂发育。火成活动主要有燕山IV 期次英安斑岩和V期花岗闪长(斑)岩。船肚一大宝山花岗闪长(斑)岩体,受东西构造控制,东西长3200米,南北宽300~600米,最宽处达800米,星岩株状产出。岩体受几组断裂破坏错移600米,成为船肚岩体与大宝山岩体的分界线。船肚岩体被剥蚀,标高300~400米,露出中心相,具全晶质似斑状结构,大宝山岩体剥蚀甚浅,出露标高约1000米,呈浅成相,具斑状结构。两者实为一个岩体,同属燕山V期。

区内矿化广泛而强烈。铜多金属矿床丰 要产于大宝山褐铁矿铁帽下面和次英安斑岩 岩墙上盘的中泥盆统东岗岭 组碳酸 盐岩层 中,属沉积热液叠加的"复生矿床"。钼钨 矿床主要产于船肚一大宝山花岗闪长(斑) 岩岩体接触带。围岩性质不同,形成矿床类 型不同。船肚花岗闪长岩北与寒武系砂板岩 接触,形成斑岩型钼(钨)矿带,南与天子 岭灰岩接触形成夕卡岩型钼钨矿带, 内接触 带构成斑岩型钼(钨)矿体。大宝山花岗闪 长斑岩北与次英安斑岩、南与下侏罗统兰塘 群砂页岩接触,形成斑岩型钼(钨)矿床(图 1、2)。蚀变与钼(钨)矿化受接触带控 制,向内外两侧渐次减弱,具有明显的分 带性。斑岩钼(钨)矿体位于花岗闪长斑岩 内外接触带上,构成东、北、南三个工业矿

<sup>\*</sup> 参加野外工作还有余绍谋、杨学军等同志,队实 验室黄义和同志负责蚀变岩的室内鉴定。

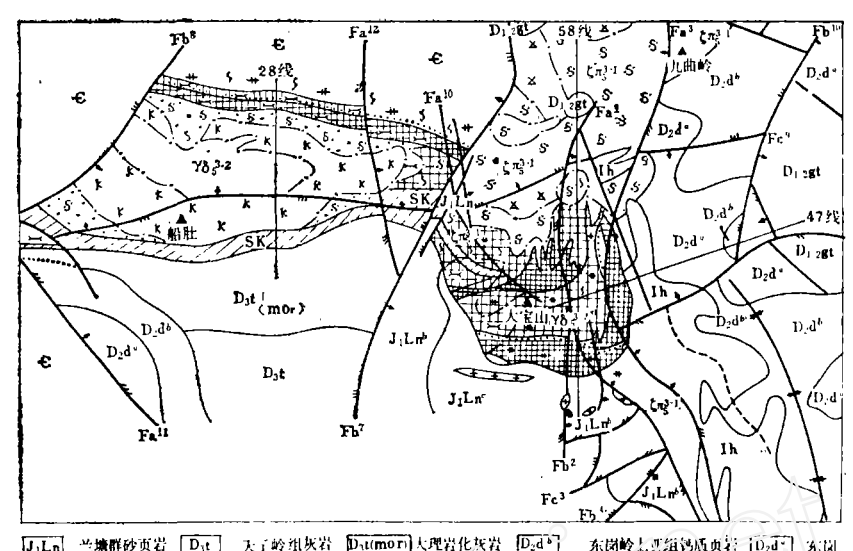


图 1 大宝山班岩铝(钨)矿床地质图

带。矿体形态完整,品位均匀。矿石物质成分简单,有用金属矿物主要有辉钼矿、黄铁矿等,尚伴生钨、铋、铜、铼、硒、碲、铊等元素。矿石呈网脉浸染状。

「[[三]] 青五岩化带

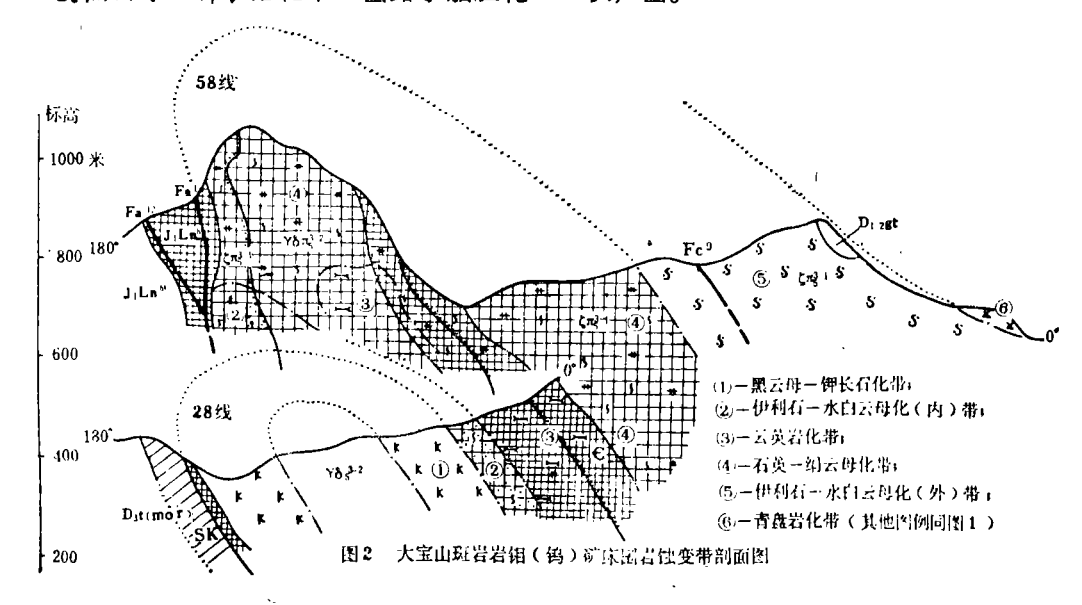
## 围岩蚀变

(一)**蚀变带的划分** 本区蚀变岩石可划分为六个蚀变带(图2)。

1.黑云母一钾长石化带 出露于船肚花

岗闪长岩体的周边和隐伏在大宝山花岗闪长 斑岩体的深部。特征矿物 为 钾 长 石和黑云 母,后者位于外侧。蚀变岩石常保留原岩结 构,手标本上一般呈浅肉红 色 夹 带 棕一绿 色。

黑云母化有两种产出情况: ①呈微细脉状,沿岩石裂隙穿插或交代 斜长石(照片1)。②浅褐色鳞片集合体的黑云母呈斑点状产出。





照片 1 A048, 10×5.6×1/3, 船肚花岗 闪长岩,次生黑云母 (Bit) 交代斜长石 (Pl), 中间有斜长石残留

钾长石化有五种产状:①肉红色钾长石脉、石英钾长石脉,沿斜长石边缘交代(照片2)或沿石英裂隙、微裂隙呈脉状穿插。②钾长石呈花岗变晶状团块交代斜长石和基、质,基质由石英和钾长石组成。③肉红色云雾状钾长石,交代斜长石宽晶。④次生钾长石常呈砂糖状集合体,交代斜长石及原生钾长石。⑤次生评长石沿斜长石或原生的钾长石斑晶边缘进行交代,形成镶边状斑晶。

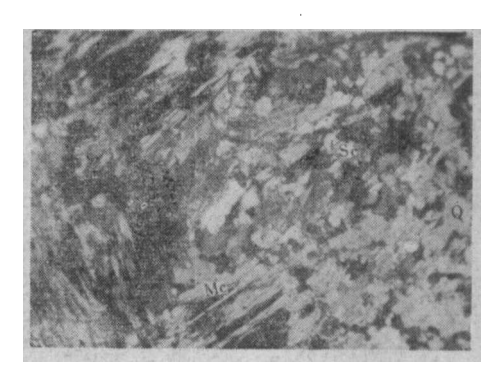
黑云母一钾长石化带,仅有微弱辉钼矿化。



照片 2 A004, 10×3,2×1/3, 船肚花岗 闪长岩, 钾长石 (Qr)沿中性斜长石(Pl)边 缘交代

2.云英岩化、石英一绢云母化带,位于 黑云母一钾长石化带外侧,主要分布在接触 带两侧,特征矿物为白云母、绢云母,常含 较多石英。石英细脉纵横交错,成网脉状, 原岩结构消失变成绢英岩。岩石呈鳞片花岗 变晶结构(照片 3),露头因含黄铁矿经淋 滤出现黑褐色的"火烧皮"现象,新鲜岩石 则为灰白色或浅绿色。

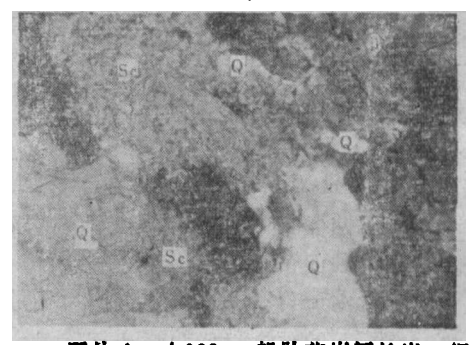
有三种产出情况: ①多以石英细脉为主体, 绢云母次之, 构成石英绢云母细脉, 或



照片 8 A010, 船肚云英岩化花岗闪长岩,由白云母(MC)、少量绢云母(Sc)和石英(Q)组成,鳞片花岗变晶结构

绢云母分布于石英脉的两侧,也有绢云母呈鳞片状案合体沿斜长石的解理 或 微 裂 隙交代。②次生石英呈不规则团块聚晶,不均匀的交代斑晶或基质。③原生斜长石均变成绢云母,原生石英呈残留或表现为重结晶,具花岗变晶结构(照片4)。

云英岩化、石英一绢云母化与矿化关系 密切。本区斑岩钼(钨)工业矿体主**要赋存** 在该蚀变岩中。



照片4 A063,船肚花岗闪长岩,鲷云母(Sc)集合体与重结晶粗粒不规则状的石英(Q)交织分布

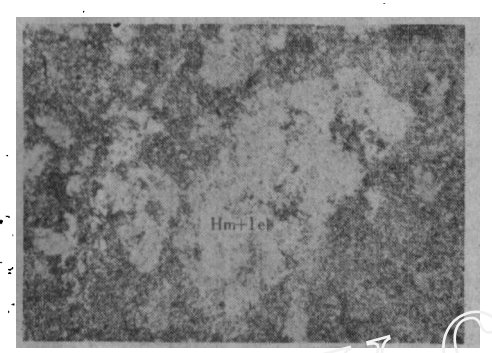
3. 伊利石一水白云母化带 主要产于石 英一绢云母化带的外侧。按产出位置不同可 分内、外带:

内带一位于内蚀变带花岗闪长(斑)岩中,呈不规则的狭长状,蚀变矿物以水白云 母为主,次为伊利石。

外带一位于外蚀变带次英安斑岩中,如九曲岭的伊利石一水白云母化带十分发育,宽800~1000米,从内向外以水白云母为主(水白云母占20~40%,伊利石10~15%)逐渐过渡为伊利石为主(伊利石20~25%,水白云母10~20%)。

主要蚀变矿物为伊利石、水白云母,外 **缘尚有水黑云母。**伊利石、水白云母呈显微 鳞片集合体取代长石斑晶,常星长石假象 (照片5),或呈脉状穿插岩石,常显鸭蛋 青色。尚可恢复原岩结构。岩石一般呈浅绿 色。

伊利石一水白云母化带为弱钼铜矿化和 铅锌矿化。



照片 5 A101, 10×5.8×1/3, 九 曲岭次英安斑岩。长石旌属被伊利 石(le)和水田云母(Hm)取代

4. 青盘岩化带 零星分布于矿床的最外 · 带或覆盖在伊利石一水白云母化外带之上。 特征矿物为绿泥石、绿帘石和碳酸盐脉。暗 色矿物都已绿泥石、绿帘石化(照片6),绿 泥石、绿帘石、方解石等多呈细脉状产出, 也有呈团块状交代斜长石斑晶。手标本浅绿 至深绿色,风化后具紫红色。



照片 6 A138,10×5.6×1/3, 九曲岭次 英安斑岩, 暗色矿物斑晶被绿泥石(Ch1) 方解石(Cc)和少量绿帘石(Ep)交代

青盘岩化带仅见铅、锌矿化。

此外, 在外蚀变带的石英一组云母化带 与伊利石—水白云母化外带之间, 尚可划分 . 出绢云母一水白云母化亚带。特征矿物主要 是绢云母和水白云母(约占30~50%),以含 次生石英极少与石英一绢云母化带相区别,

以缺少伊利石可与伊利石一水白云母化带区 分。

绢云母一水白云母化亚 带 见 钼、铜矿 化,局部构成矿体。

- (二)蚀变岩岩石化学特征 本区具代 表性的各类蚀变岩的化学成分 见 附表,并 试用安普列比法计算100立方厘米氧化物的 重量,对比数值可看出蚀变过程组分带入和 带出的情形:
- 1.各蚀变带SiO2含量在65.92~77.90% 之间, 说明本区各类蚀变岩属于酸性岩, 与 本区成矿以钼(钨)矿为主符合。
- 2. 各蚀变带某些组分带人、带出有规 律,且与各期蚀变矿物演变息息相关。 SiO。随蚀变增强略有增加,尤以石英一绢 云母化、云英岩化带为显著。这是多期蚀变 过程中, 原岩中硅酸盐矿物的水化、钾质交 代有 SiO<sub>2</sub> 析出以及热液期有石英细脉充填 的结果。 ②K<sub>2</sub>O仅在内蚀变带的黑云母— 钾长石化**带有明显增加,**在石英一绢云母化 带、云英岩化带反而降低, 硅置换了钾, 显 示强烈硅化, 在外蚀变带 K<sub>2</sub>O 随蚀变增强 而增加, 说明钾质由斑岩体向外(围岩)迁 出。③随着蚀变作用的增强, Na<sub>2</sub>O明显减 小,CaO总体上趋于减小,这是由于多期蚀 变原岩中长石类矿物解离, Na+、Ca2+被水 溶液迁移的缘故, FeO趋于减小, Fe<sub>2</sub>O<sub>3</sub>明 显增多,这主要是黄铁矿中 Fe2+变成Fe3+ 之故, MgO 总的趋势是减小, 但在外蚀变 带略有增加, 这与暗色矿物解离, 转变中有 Mg2+ 析出, 被迁移至青盘岩化带形成绿泥 石有关。

总之, 在整个蚀变作用过程中带入的组。 分为SiO<sub>2</sub>、K<sub>2</sub>O,带出的组分为Na<sub>2</sub>O、CaO。

- (三)关于蚀变作用过程的探讨 本矿 床蚀变作用过程可概括为四个阶段:
  - 1. 岩浆晚期, 残余气热蚀变阶段

气化高温热液蚀变阶段

-8 低温热液蚀变阶段

1. 岩浆晚期 残余气热蚀变阶段斑岩成 岩晚期, 岩浆残余气热溶液沿微裂隙向岩体 上部及两侧扩散,对斑岩矿物进行交代,造 成岩体中上部以黑云母一钾长石化为标志的 蚀变, 并伴随有散布均匀的黄铁矿、辉钼矿

克/100 厘米3 伊利石一木白水中 化花胶闪水解却 2, 78 重量(%) 80.66 云英岩化花岗闪长 鹿岩 H 克/100厘米3 200,61 24, 14 粈 2, 70 Ź (%)肾胃 95,37 銋 \* 克/100 属米3 13,63 9.27 27.91 絮 石英一编云母化 花岗闪长斑岩 2.71 窑 (%)事事 98.34 # 盘 뉟 **内英岩化花数** D 水 松 变 2.54 母 重量(%) 90.0 爽 4 克/100 無米。 伊利石一水白云母化花园闪安 桵 非 2.30 (%)事實 102.86 巡 0.04 长 克/100 屬米3 **熙**对母**一**仰农石化 花岗风农岩 12.56 0.63 0.17 4.50 2,27 0.31 (码) 2.42 67 重量(%) 104,19 2.10 5,19 0.26 0.13盘 戼 克/100厘米3 0.57 並 6.52 10,11 0.32 斑 木 크 ĸ 0 重量(%)  $\mathbf{x}$ 103,85 洲 0.23 铭  $^{\mathsf{K}}$ 4 SiO<sub>2</sub>
TiO<sub>2</sub>
TiO<sub>3</sub>
A1<sub>2</sub>O<sub>3</sub>
Fe<sub>2</sub>O<sub>3</sub>
MnO
MgO
CaO
Na<sub>4</sub>O
R<sub>2</sub>O
F<sub>2</sub>O
CaO
CaO H<sub>2</sub>O+ H<sub>2</sub>0-世 ¥ 增

	X	竔	田斑	扯	毎	(钨)	<b>₩</b>	床原	址	成	分 及	赵	₩;	京京	m±1	老	器	分带	Ź	#	出	(後	(续上表)
		サイ	带入(+)、带出(-)比较(以	争田(	- ) 元 4		克/100厘米8计)	(# £)		次英安	: 叛 岩	在名	英一. 第六 次 英 共 章	化 中 命	中中	利石一代次英	水白云 安斑岩		青盘岩化次英安斑岩		带入(+ 校(以对	带入(+)、带出(-)比 较(以克/100厘米3计)	(-)比(*3中)
퐾	≉	1年	15	8	14	1号5	1号6	-	7 1	8			6	7	<u> </u>	10		,	11		8月9	8 与10	8 \$11
		另数	开	数书	# ₩	光数	另数	<del>33</del>	数	重 第 (%)	克/100 厘米3	1	1 (%)	克/100 運米3	14.	(%)	克/100 厘米8	圖)	量 克/ ) 厘为	/100 米3	玩	比数	比较
S	5102	-8.30	+7.79		+15.31	+25.71	+29.22	+16.62		65,92	170,73	71,28		198,87	67.	67.42	173.94	66.95	5 161,35	i	+28.14	+3.21	-9.38
	$\Gamma iO_{z}$	+0.12	- 0.39		- 0.26	- 0.16	-0.27		90.0	0,53	1,37	· -	0.46	1.28	•	0.52	1,34	0.49	-	18	-0.09	-0.03	- 0.19
4	$A1_{2}O_{2}$	+2.46	- 9.63		5.97	- 11, 18	-14.95		1,89   1	16.43	42.55	13, 12		36.65	<b>*</b>	4.83	38,26	16, 29	39,26	92	-5.95	-4.29	-3.29
	Fe 20 <b>3</b>	+0,14	- 1.9	92	+9.25	+9.27	-3,01		.2.97	1,23	3, 18	-2	2.97	8, 29	2.	2.08	6,91	3.07	7.	40	+5.11	+3,73	+4.22
	FeO	- 0.75	- 2.65		2.37	- 3.33	-2.28		2.69	3,97	10.28	<u>。</u>	99.0	1.84		17.2	4,44	2,39	9 5.76	92	-8.44	-5.84	-4.52
~	MnO	- 0.05	- 0, 10		-0,15			Î	0.14	0.09	0.23	搬	뼥		c)	0.02	0,05	0,10	0.24	24	-0.23	-0.18	+ 0.01
	MgO	- 0.62		37 -	1, 11	98.0-	-1.43		+0.64	1,75	4, 53	<u>.</u>	0.93	2,59		1,78	4, 59	2.08	5.01		-1.94	+0.06	+0.48
•	CaO	- 1.18	-2.50		-2.66	-2.65	-2.74		+0.81	4.79	12, 41	•	0.25	0.70	\در الر	0.49	1, 26	0,14	4 0.3	34	11.71	- 11, 15	- 12.07
	Na <sub>2</sub> O	-1,44	- 6.29		6.14	-6.36	-6.33		6.24	2.72	7.04	<u>.</u>	90.0	0.17	Je.	0.08	0,15	0.08	-	- 16	- 6.87	68.89	- 6.85
_	$K_2O$	+2.45	- 0.63		-0.56	-0.84	-2.15	+	4.37	2.65	6.86	4.	4.48	12.50	er.	3.54	10, 16	3,33		8.02	+5.64	+3.30	+1.16
1	$P_2O_3$	+0.06	- 0, 48		- 0.42	-0.30	-0,52		-0.13			<u>.</u>	0.07	0.20	0	0.10	0, 26	0.10	-	0.24			
_	CO2	-0.01	- 0.02		+ 0.01	- 0.05	-0.05		+2.74			<0.1	Ţ	0.28	<u>ا</u> ا	6,29	0,75	0.11		0.27			į.
_	Ŧ.	+0.05	+0.22		+0.11	+0.42	+0.31		+0.55			· -	0.18	0.50	0	.21	0.54	0.05		0, 12			
_	$H_2O^{\dagger}$	+0.34	- 2, 12		- 1,75	-3.56	-3.57	I 	2.28				1,06	2,96	m	<del></del>	8,02	5, 16	6 12,44	44			
_	H <sub>2</sub> 0-	-0.26	- 1,00	_	-0.95	-1.31	-1.23	١.	96.0			· ·	0, 18	0.50		0.54	1,65	1, 17		2.82			
***	烧失量	+0.58	-0.88		+0.26	+3.53	+8.08	+	8.50	2, 52	6.52	ຕໍ .	3.38	9, 43	4.	37	11, 27	5.09	12.	27	+2.91	+ 4.75	+5.75
鸠	*			<u> </u>				<b>-</b>		102.60		99.	99,18		102.18	8		106, 60	0	<u> </u>			
*										2	29		2, 79	_	<u> </u>	2,58	(10)		2.41	-			
牲	数										1		4		 	100	51		89	<u>+</u> .			
									1						-		Í						

浸染。

- 2. 岩浆期后 热液蚀变阶段,继岩浆晚期残余气热蚀变阶段后,岩浆期后含矿溶液沿接触带上升,并向内、外两侧多期次循序扩散,出现多期的岩浆期后蚀变、矿化过程,这可从含钼石英脉的多期性得到证实。
- 2-1气化高温热液蚀变阶段,岩浆期后,沿接触带发生气化高温热液蚀变,形成云英岩化一石英绢云母化,并沉淀少量锡石、辉钼矿等,细脉以黄铁矿一石英为主体。
- 2-2高中温热液蚀变阶段,继气化高温热液蚀变后,紧接着在接触带附近产生石英一组云母化,以斜长石组云母化、石英网状脉发育为特征的高中温热液蚀变。本阶段持续时间较长,矿化具多期次,为辉钼矿、黑钨矿大量沉淀的成矿阶段,其矿物段,似辉钼矿一石英组合,添带状构造;②辉钼矿一石英组合,添高,辉钼矿多成粗片状,为铂矿主要成矿阶段;③黄铁矿一石英组合,为细脉浸染状黄铁矿的主要成矿阶段;④辉钼矿一黄铁矿一石英组合,为钼矿的次要成矿阶段。

形成石英一绢云母化后, 热液向外连续扩散, 随着温度的降低形成伊利石—水白云母化带, 伴随产生少量黄铜矿、黄铁矿、方铅矿、闪锌矿等金属矿物。

2-3低温热液蚀变阶段,主要以碳酸盐化和绿泥石化共生为特征。蚀变空间分布零散,主要分布在矿床的上部。伴随产生铅锌矿化。

总之,由于每次蚀变作用过程中,化学性质的**演**变和多期、多阶段蚀变作用的影响造成了各类蚀变岩,并在空间上形成了矿床的蚀变分带。

# 蚀变与矿化的关系及找矿评价标志

本矿床的主要蚀变(高中温热液蚀变) 阶段,是钼矿成矿的主要阶段。本区蚀变分 带和成矿作用的特点:

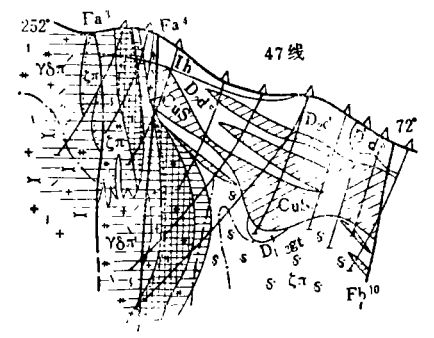
(一)岩浆期后含矿溶液的活动中心受 斑岩接触带控制,热液蚀变和成矿作用的中心在接触带上而不在斑岩体内部。这从本矿床石英一绢云母化带及钼(钨)工业矿带分布在接触带附近,而斑岩中心部位多为伊利石一水白云母化带,钼(钨)矿化甚差得到

证实。

- (二)蚀变分带以接触带为中心,向内外两侧成对称分带。本矿床的蚀变分带,与国内外斑岩型铜钼矿床的特征蚀变分带基本一致,特殊之点是内、外伊利石一水白云母化带特别发育。
- (三)从图1及图3中看出,本矿床钼 (钨)矿体产在石英一组云母化带或云英岩 化带和组云母一水白云母化亚带中。金属矿 物具水平分带:在斑岩体上部及与次英安斑 岩接触带附近的石英一组云母化带中,主要 为辉钼矿一黑钨矿化带,往外侧的组云母的 水白云母化亚带,主要为黄铜矿、辉铋矿、辉铅矿、 设矿矿化带。本区的特点是在钼(钨) 矿、闪锌矿矿化带。本区的特点是在钼(钨) 矿、两外侧,有一个黄铁矿矿化带,往钨矿 最高的人类。主要元素总的趋势是钼与钨、 铜与铋具正相关,铋与钼、铜与钼、铜为相关,说明钼是在不同成矿阶段形成的。,
- (四)本区与斑岩钼(钨)矿床有成因 关系的花岗闪长(斑)岩体,在岩石化学上 的特点是:
- 1.K<sub>2</sub>O+Na<sub>2</sub>O 为 3~7.29%,而且 K<sub>2</sub>O>Na<sub>2</sub>O,甚至高出2~4倍;
  - 2. 钙碱指数为61, 属钙碱性系列;
- $3.SiO_2$  含量为67.39~77.90%, 与一般  $SiO_2 > 65$ %的岩体常形成斑岩钼矿相符合。

归纳本区斑岩钼(钨)矿床的地质特征,得出找矿远景区应具备下列标志:

(一)北江断裂带两侧,尤其是与东西 断裂带的交汇处,或隆起区与凹陷区的过渡



| 図岩組(角) が化体

图 3 东钼矿带 47 浸岩体、蚀变与矿化的关系剖面图

#### 带,断裂发育处,

(二)燕山晚期次火山岩分布区或预测 有隐伏斑岩体的地段;

(三)水化学或分散流、金属量测量有 Cu、Mo、Pb、As 异常的地区, 地表次生 晕钼量在150y/g以上者,下部可能有工业 矿体存在:

(四)地球化学异常具有内带W、Sn、 Mo, 中带Cu、Wca、Bi, 外带Pb、Zn、 Ag, 边缘带As的同心环状分带的地区;

(五)围岩具广泛面状蚀变带或带状蚀 变带, 尤其是石英一绢云母化发育的地区, 地表有褐铁矿石英细网脉出现的地区。

本矿床围岩蚀变分布范围大于矿床范围 数倍, 围岩蚀变是寻找斑岩铜钼矿床的主要 标志之一; 由于地表多为褐铁矿细脉, 难 以断定矿化富集部位, 这时只能利用石英 一组云母化带圈定矿化富集部位, 指导找矿 评价工程的正确部署。本矿区以前认为是石 英网脉型钼矿床,现根据钼(钨)矿与花岗 闪长(斑)岩有成因关系, 矿石为细网脉浸 染状, 围绕岩体有一套面状蚀变等标志, 确 定矿床成因为高中温热 液 斑 岩 钼(钨)矿 床,这也说明围岩蚀变的研究,有助于解决 矿床的成因问题。

# 赤铁矿型锗矿石中锗的赋存状态研究

武汉地院北京研究生部 杨光明

近三十年来,锗的半导体性质在现代工 业和技术上获得了越来越广泛的应用。锗的 主要来源除少数从其独立矿物中提取外,绝 大部分是从铅锌矿石、煤灰和有 机 岩 中 提 取。有关赤铁矿中锗的报道甚少。因此, 开 展对该类新型锗矿矿床学和锗的地球化学研 究,有一定的理论和实际意义。

由于水平低,实验条件有限,加之对该 类新型矿床缺乏先例借鉴,错误之处,希望 批评指正。

# 矿床地质简介

湖南某地赤铁矿型锗矿床产于衡山隆起 之南岳花岗岩外接触带,石桥铺向斜西南仰 起端; 矿体分布于北东为主的多组断裂破碎 带中。出露的地层主要为泥 盆、石 炭 系灰 岩、砂页岩。区内岩浆岩颇发育, 北面1公 里处为南岳花岗岩, 其他多为 各 种 酸 性脉 岩。围岩蚀变强烈,以赤铁矿化、重晶石 化、硅化为主。受北东向断裂构造控制。锗 富集于赤铁矿中,构成具一定规模的赤铁矿 型锗矿床。

## 矿石基本特征

1. 矿石化学组成 矿石化学分析结果列 于表1。从表1可见,锗的含量均在0.008% 以上,平均可达0.012%,高者达0.024%, 符合铁矿中含锗工业指标要求, 若以单独锗

-77	1
n.	

样号	Ge	Fe	As	Рь	WO <sub>3</sub>	V	P	s	BaSO,	SiO2	A12O3	CaO	MgO	SrO	Zn
TC 8-7	0.0235	5 <b>7.3</b> 5	0.690	0.568	0.132	0.004	0.085	0.67	3.95	8.42	0.70	0.07	0.10	0.051	
TC 8—8	0.0162	53.40	0,415	0.445	0.140	0.008	0.090	1.67	11.17	7.10	1.68	0.27	0.20	0.088	
TC 8—9	0.0236	60.80	0.385	0.360	0.140	0.008	0.065	1.04	6.85	2.31	0.89	0.00	0.10	0.062	
B-5B	0.0087	44.75	4.867	6.604	0.096	0.044	0.200	2.11	14.07	2.27	0.74	0,54	0.30	0.059	
T- 16B	0.0140	56.00	1.002	0.805	0.048	0.020	0.034	0.00	0.08	13.70	0.89	0,20	0.10	0.028	
选Ⅰ号	0.0214	51.80	1.110	0,251	0.125		0.030	1,004		14.02	3.82	0.34	0.29		0.17
选【号	0.0115	44.60	3.640	2.579	0.115		0.025	0.665		21.05	2.82	0,20	0.00		0.22

单位:%